



تحلیل فاصله خطای استراتژی ناوبری تناسبی با بازخورد شتاب و سرعت زاویه بدن با استفاده از روش الحاقی

سید حمید جلالی نائینی^۱

^۱ استادیار، دانشکده مهندسی مکانیک، گروه هوافضا، دانشگاه تربیت مدرس، shjalalinaini@modares.ac.ir

(تاریخ دریافت مقاله ۱۳۹۱/۱۲/۲۲، تاریخ پذیرش مقاله ۱۳۹۲/۳/۵)

چکیده: در این مقاله، حل تحلیلی فاصله خطای استراتژی بهبود یافته ناوبری تناسبی با بازخورد سرعت زاویه بدن و شتاب جانی در حضور اثر رادوم و نویز جستجوگر با استفاده از روش الحاقی ارائه شده است. دینامیک سیستم کنترل با یک تابع تبدیل مرتبه اول مدل شده است. با فرضیات مذکور، تابع تبدیل از نرخ چرخش خطدید به شتاب جانی بصورت یک تابع تبدیل مرتبه اول بدست می‌آید. بنابراین، ضریب ناوبری معادل و ثابت زمانی معادل آن بر حسب شب رادوم و ضرایب قانون هدایت حاصل می‌شود. در نتیجه، اثرات رادوم، بازخورد شتاب جانی و مشتق آن در ثابت زمانی و ضریب ناوبری معادل و در نتیجه فاصله خطای حاصل می‌آید. روابط منتج با تحلیل عددی آماری صحیح گذاری شده است. در ادامه، ضرایب قانون هدایت مذکور به منظور بهبود عملکرد هدایت تناسبی بصورت متغیر، طراحی و ارائه شده است که سبب افزایش محدوده پایداری و کاهش فاصله خطای می‌شود.

کلمات کلیدی: فاصله خطای، اثر رادوم، نویز جستجوگر، روش الحاقی

Miss Distance Analysis of Proportional Navigation Strategy with Acceleration and Body Rate Feedback using Adjoint Method

Seyed Hamid Jalali Naini

Abstract: This paper presents analytical solution of miss distance of a proportional navigation (PN) modified with body rate and lateral acceleration feedback using adjoint method in the presence of radome effect and seeker noise. The control system dynamics is modeled by a first-order transfer function. Therefore, the transfer function from line-of-sight rate to lateral acceleration is derived as a first-order transfer function, for which the equivalent time constant and gain are obtained in terms of radome slope and guidance coefficients. Consequently, the miss distance relations due to radome slope and seeker noise are obtained in terms of the radome slope and the acceleration and its rate feedback. The resulting relations are verified using statistical analysis. Moreover, the guidance law coefficients are designed as variables to enhance the PN performance, thereby increasing the stability region and reducing the miss distance.

Keywords: Miss distance, radome effect, seeker noise, adjoint method.

ها و هوا به هوا دارد [۱]. در این قانون هدایت، دستور شتاب مناسب با نرخ چرخش خطدید اعمال می‌شود. به منظور بهبود عملکرد هدایت تناسبی، استراتژیهای متعددی تاکنون معرفی شده است. تحلیل فاصله خطای، استراتژیهای متعددی تاکنون معرفی شده است. تحلیل فاصله خطای، استراتژیهای متعددی تاکنون معرفی شده است. تحلیل فاصله خطای، استراتژیهای متعددی تاکنون معرفی شده است. در اصابت (یا به اختصار فاصله خطای) برای هدایت تناسبی در مراجع موجود است؛ اما بررسی کامل عددی یا تحلیلی برای هر یک از این

۱- مقدمه

هدایت ناوبری تناسبی (یا به اختصار هدایت تناسبی) و استراتژیهای بهبود یافته آن کاربرد زیادی در هدایت پایانی موشکهای رهگیر زمین به

همانطور که اشاره شد، عوامل متعددی در فاصله خطای دخیل هستند که طراحی هدایت تناسی با یک (یا دو پارامتر) برای ارضای فاصله خطای مطلوب را دشوار یا ناممکن می‌کند. بطور مثال با استفاده از هدایت تناسی (بدون تغییر ضربی ناویری یا ثابت زمانی) نمی‌توان موشک را برای ارتفاع پایین و بالا طراحی کرد. ارتفاعات پایین و بالا هر کدام ملاحظات خاص خود را دارد [۱۲، ۱۳]. با استفاده از تغییر این پارامترها، شرایط بهتر می‌شود؛ اما هنوز طراحی دشوار است. جبران اثر رادوم می‌تواند، عملکرد هدایت تناسی را تا حد زیادی بهبود بخشد. یکی از روش‌های شناخته شده کلاسیک برای جبران اثر رادوم، بازخورد سرعت زاویه بدنه است [۱۳]. البته تاکنون روش‌های مدرن، اتفاقی و فیلترینگ متعددی برای جبران اثر رادوم در منابع آمده‌است [۱۴–۱۸]. همچنین استفاده از استراتژی‌های بهبودیافته هدایت تناسی می‌تواند، طراحی برای افزایش پوشش ارتفاع را بهبود دهد. در این خصوص می‌توان به قوانین هدایت تناسی شبکه کلاسیک و نوکلاسیک [۱۰] اشاره نمود.

در تحقیق حاضر، استراتژی هدایت تناسی با بازخورد شتاب جانبی (و نرخ آن) مدنظر است که می‌تواند به نوعی در طبقه‌بندی هدایت تناسی نوکلاسیک قرار گیرد. بنابراین پس از ذکر مقدمات در بخش اول، فرضیات و مدل‌سازی بازخورد سرعت زاویه بدنه برای تقلیل اثر رادوم در بخش دوم تشریح می‌شود. در صورتی که سیستم کنترل مرتبه اول اول فرض شود، می‌توان نشان داد که تابع تبدیل معادل بصورت مرتبه اول می‌شود و لذا حل تحلیلی فاصله خطای با استفاده از روش الحقی براحتی استخراج می‌شود که این موضوع در بخش سوم آمده‌است. استخراج ضرایب معادل برای ضربی ناویری و ثابت زمانی، امکان استخراج روابطی برای محاسبه ضرایب قانون هدایت مذکور را میسر می‌سازد. روابط مذکور در بخش چهارم با ذکر مثالهای ارائه شده‌است. نوآوری مقاله که در بخش سوم و چهارم آمده‌است در بخش پنجم جمع‌بندی و نتیجه‌گیری می‌شود.

۲- معادلات خطی شده هدایت

مطابق شکل ۱، دیاگرام بلوکی مسئله خطی شده هدایت و کنترل نمایش داده شده است که در آن ۵ متغیر حوزه لایپلاس است. برای خطای سازی معادلات فرض می‌شود که زاویه خط‌ددید (λ) کوچک باقی می‌ماند و از رابطه $y = v t_{go}$ سرعت v را تقریب زده می‌شود که در آن، t_{go} زمان نزدیک‌شدن به هدف است که ثابت فرض شده و t_f زمان باقیمانده تا اصابت (یا کمترین فاصله) است ($t_f = t_{go} - t$). در این بررسی، زمان نهایی t_f معلوم فرض می‌شود. همچنین شتاب موشک (n_T) و شتاب هدف (n_M) در خطی سازی تنها در راستای y نوشته می‌شود.

استراتژیها در دسترس نمی‌باشد. استخراج و توسعه روابط تحلیلی برای تخمین فاصله خطای دخیل هستند؛ مانند اثر اشباع شتاب، افزایش دید طراح، بتوان روابطی برای پارامترهای طراحی استخراج نمود تا محدوده پایداری و دقت عملکرد آنها را با توجه به تغییر سرعت و ارتفاع موشک، افزایش دهد.

عوامل متعددی در فاصله خطای دخیل هستند؛ مانند اثر اشباع شتاب، اثر رادوم، مانور هدف، خطای سمت اولیه، مرتبه سیستم هدایت و کنترل و نویز ردیابی جستجوگر [۲–۴]. اکثر تحلیلهای موجود در مبنای تنها یک یا چند اثر را برای محاسبه فاصله خطای درنظر گرفته‌اند. تحلیل فاصله خطای در منابع در دسترس، عموماً با شبیه‌سازی عددی (معادلات اصلی با بعدی با بعدی) [۵–۹]، روش الحقی، انتشار کوواریانس و یا شبیه‌سازی مونت کارلو (بی‌بعدشده)، روش الحقی، انتشار کوواریانس و یا شبیه‌سازی مونت کارلو انجام شده است [۱۰]. روش الحقی با یکبار اجرای کد حل عددی، فاصله خطای را به ازای تمام زمانهای برخورد (یا فواصل اولیه) مختلف تولید می‌کند. محدودیت اصلی روش الحقی و انتشار کوواریانس، خطی سازی المانهای سیستم است [۱۱]. لذا اصولاً این دو روش برای قوانین هدایت و کنترل غیرخطی و یا اعمال المانهای غیرخطی نمی‌تواند بکار رود. البته روش الحقی برای تحلیل مسائل خطی با ورودیهای اتفاقی ابزار بسیار مناسبی است.

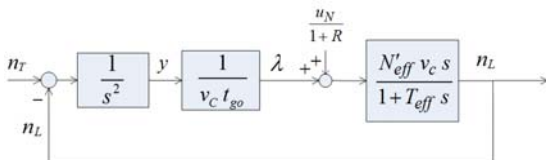
معادلات کلی حل تحلیلی برای روش الحقی در مرجع [۹] آورده شده است. حل این معادلات بطور معمول منجر به حل انتگرهای لایپلاس معکوس توابع تبدیل متعالی (Transcendental) می‌شود که حل عمومی ندارد. البته حل تحلیلی با فرض سیستم کنترل مرتبه اول بصورت تحلیلی وجود دارد [۱۲]. برای سیستمهای با مرتبه بالاتر ممکن است برای حل انتگرهای لایپلاس معکوس توابع تبدیل متعالی از حل عددی استفاده شود. در مرجع [۱۰] نمودارهای بطور نمونه با استفاده از حل عددی انتگرهای مذکور ارائه شده است. همانطور که انتظار می‌رود، نمودارهای حاصل از حل عددی تنها برای مقادیر مشخصی از پارامترها حاصل می‌شود. البته روش ساده‌تر، حل عددی معادلات حالت با استفاده از روش الحقی است. بطور نمونه، در این روش می‌توان انحراف معیار فاصله خطای ناشی از هر یک از منابع خطای را بر حسب خطای رادوم یا حاصل‌ضرب ضربی خطای رادوم در نسبت سرعت نزدیک‌شدن به سرعت موشک مطابق مرجع [۱۳] رسم نمود. البته این نمودارها به ازای مقادیر مشخص ضربی ناویری و ثابت زمانی نرخ چرخش حاصل می‌شود که تعداد زیادی نمودار می‌شود. بعبارت دقیق‌تر، به ازای هر ضربی ناویری و نسبت ثابت زمانی نرخ چرخش به ثابت زمانی سیستم کنترل، یک نمودار بدست می‌آید. هر نقطه این نمودارها حاصل یکبار اجرای کد شبیه‌سازی سیستم الحقی است که با در حلقه قرار دادن آن می‌توان یک نمودار را رسم نمود. البته در صورتی که تعداد پارامترهای قانون هدایت افزوده شود، بطور مثال، استراتژیهای هدایت تناسی با تعداد پارامترهای بیشتر، استفاده شود، با افزایش تعداد نمودارها، طراحی و تحلیل دشوارتر می‌شود.

$$n_c = N'v_c(\dot{\lambda}_m + K_B\dot{\theta}) - N'_L(1 + \tau s)n_L \quad (4)$$

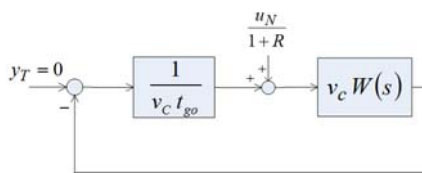
که در آن، N' ضریب ناوبری هدایت تابعی، N'_L ضریب شتاب جانی، τ ثابت زمانی مشتق گیر و K_B بهره بازخورد سرعت زاویه بدنه در قانون هدایت است.تابع تبدیل سیستم کنترل موشک نیز با یک تابع تبدیل مرتبه اول مدل می شود:

$$\frac{n_L}{n_c}(s) = \frac{1}{1 + T_s} \quad (5)$$

که در آن، T ثابت زمانی سیستم کنترل است.



شکل ۲: دیاگرام بلوکی ساده شده در شکل ۱



شکل ۳: تبدیل دیاگرام بلوکی مسئله به شکل استاندارد برای روش الحاقی

۳- حل تحلیلی فاصله خطای

ابتدا دیاگرام بلوکی شکل ۱ بصورت شکل ۲ ساده می شود که در آن

ضریب ناوبری مؤثر و ثابت زمانی مؤثر به ترتیب برابرند با:

$$N'_{eff} = \frac{N'(1+R)}{1+N'_L+K_{eq}} \quad (6)$$

$$T_{eff} = \frac{T+N'_L\tau+K_{eq}T_\alpha}{1+N'_L+K_{eq}} \quad (7)$$

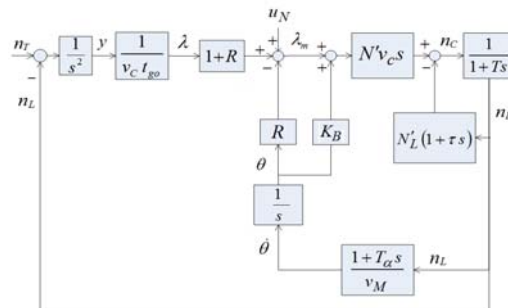
که در آن

$$K_{eq} = N'C_R, \quad C_R = \frac{v_c R_{eq}}{v_M} \quad (8)$$

$$R_{eq} = R - K_B \quad (9)$$

حال دیاگرام بلوکی شکل ۲ به شکل استاندارد برای استخراج روابط روش الحاقی تبدیل می شود (شکل ۳). بنابراین، تابع تبدیل $W(s)$ در شکل ۳ بصورت زیر نوشتہ می شود:

$$W(s) = \frac{1}{s^2 v_c} \frac{n_L}{\lambda}(s) = \frac{N'_{eff}}{s(1+T_{eff}s)} \quad (10)$$



شکل ۱: دیاگرام بلوکی مسئله خطی شده

در مسئله خطی شده فرض می شود که شتاب جانی و شتاب موشک برابر هستند ($n_M = n_L$). راستای y عمود بر خط دید اولیه منظور می شود و مقدار آن، همان فاصله هدف نسبت به موشک در راستای عمود بر خط دید اولیه است.

در اثر عبور پرتوهای الکترومغناطیس از دماغه غیرفلزی موشک،

پرتوی عبوری به اندازه زاویه r_{dome} منحرف می شود. تغییرات زاویه r_{dome} نسبت به $(\lambda - \theta)$ خطی فرض شده و شب آن با R نمایش داده می شود [۴]؛ بعبارت دیگر، $r_{dome} = R(\lambda - \theta)$ که در آن، زاویه محور طولی موشک با امتداد مرجع (امتداد افق) با θ نمایش داده شده است. بنابراین زاویه خط دید اندازه گیری شده بصورت زیر نوشته می شود:

$$\lambda_m = \lambda + r_{dome} + u_N = (1+R)\lambda - R\theta + u_N \quad (1)$$

که در آن، u_N نویز اندازه گیری زاویه خط دید است و بصورت زیر لحاظ می شود [۴]:

$$u_N = \frac{u_{GL}}{v_c t_{go}} + u_{FN} + \frac{v_c t_{go}}{R_A} u_{RN} + \left(\frac{v_c t_{go}}{R_A} \right)^2 u_{RNA} \quad (2)$$

که در آن، u_{GL} ورودی نویز تابش (Glint)، u_{FN} ورودی نویز مستقل از فاصله (فاصله موشک تا هدف)، u_{RN} ورودی نویز وابسته به فاصله برای سیستم نیمهفعال و u_{RNA} ورودی نویز وابسته به فاصله برای سیستم فعال هستند. این ورودیها بصورت نویز سفید فرض شده و چگالی طیفی توان آنها با Φ و همان اندیس ورودی متناظر نمایش داده می شود. چگالی طیفی نویزهای وابسته به فاصله به ازای یک فاصله مرجع R_A داده می شود.

برای تکمیل بلوک دیاگرام هدایت و کنترل، نیاز به محاسبه زاویه θ است که با استفاده از ثابت زمانی نرخ چرخش T_α و از طریق رابطه زیر محاسبه می شود [۴]:

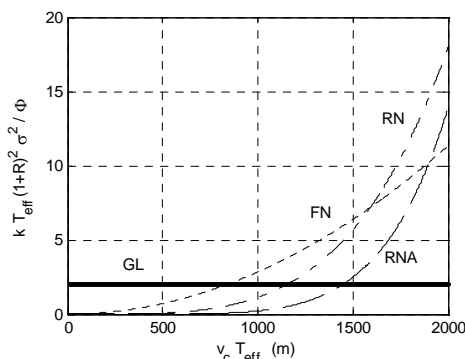
$$\frac{\dot{\theta}}{n_L} = \frac{1+T_\alpha s}{v_M} \quad (3)$$

که در آن، v سرعت موشک است. دستور شتاب قانون هدایت نیز بصورت زیر لحاظ می شود:

میانگین مربعات فاصله خطای بر حسب $v_c T_{\text{eff}}$ در شکل ۵ برای سیستم هدایت راداری فعال و همچنین نیمهفعال با استفاده از رابطه (۱۶) به ازای $\alpha_{\text{RNA}} = 2 \times 10^{-6}$, $\alpha_{\text{RN}} = 2 \times 10^{-6}$, $\alpha_{\text{FN}} = 5 \times 10^{-9}$ و $N'_{\text{eff}} = 3$ ترسیم شده است. همانطور که ازین شکل ملاحظه می‌شود با افزایش $v_c T_{\text{eff}}$, مقدار فاصله خطای (rms) افزایش می‌یابد. البته به ازای مقادیر مفروض، عمدۀ خطای به ازای $v_c T_{\text{eff}} < 2500 \text{ m}$ ناشی از u_{GL} است و با افزایش آن از مقدار ۲۵۰۰، خطاهای ناشی از نویزهای دیگر ظاهر می‌شود.

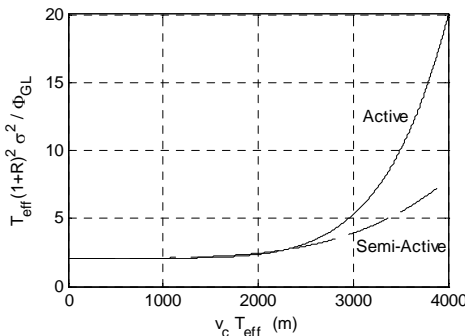
جدول ۱: ضرایب روابط میانگین فاصله خطای

N'_{eff}	3	4	5
K_{GL}	1.44	1.71	1.94
K_{FN}	0.532	0.561	0.588
K_{RN}	1.06	1.10	1.15
K_{RNA}	4.66	4.68	4.82



شکل ۴: میانگین محدود فاصله خطای ناشی از چهار نویز جستجوگر

بر حسب $N'_{\text{eff}} = 3$ به ازای $v_c T_{\text{eff}}$



شکل ۵: میانگین محدود فاصله خطای بی بعد ناشی از نویز جستجوگر

بر حسب $N'_{\text{eff}} = 3$ به ازای $v_c T_{\text{eff}}$

حل تحلیلی روش الحقیقی برای دیاگرام بلوکی شکل ۳ در مراجع آمده است. بطور نمونه با جایگذاری برای $W(s)$ از رابطه (۱۰) در روابط مرجع [۴] و همچنین اصلاح ورودی نویز با ضریب $(1+R)$, حل تحلیلی فاصله خطای بدست می‌آید (به تفاوت ورودیهای نویز در دو شکل ۱ و ۳ توجه شود):

$$\sigma_{\text{GL}} = \frac{K_{\text{GL}}(N'_{\text{eff}})}{1+R} \sqrt{\Phi_{\text{GL}} / T_{\text{eff}}} \quad (11)$$

$$\sigma_{\text{FN}} = \frac{K_{\text{FN}}(N'_{\text{eff}})v_c}{1+R} \sqrt{T_{\text{eff}} \Phi_{\text{FN}}} \quad (12)$$

$$\sigma_{\text{RN}} = \frac{K_{\text{RN}}(N'_{\text{eff}})v_c^2}{(1+R)R_A} \sqrt{T_{\text{eff}}^3 \Phi_{\text{RN}}} \quad (13)$$

$$\sigma_{\text{RNA}} = \frac{K_{\text{RNA}}(N'_{\text{eff}})v_c^3}{(1+R)R_A^2} \sqrt{T_{\text{eff}}^5 \Phi_{\text{RNA}}} \quad (14)$$

لازم به ذکر است که حلها مذکور، انحراف معیار فاصله خطای ناشی از ورودیهای نویز به ازای شرایط حالت ماندگار را نتیجه می‌دهد (بعارت دیگر، زمان نهایی باید بزرگتر از مقدار مشخصی، متناظر با تقریب عملی زمان حالت ماندگار باشد). ضرایب K نیز تابعی از N'_{eff} است و مقادیر آن به ازای سه مقدار $N'_{\text{eff}} = 3, 4, 5$ در جدول ۱ آمده است. البته بعلت مشابهت حل مذکور، جدول ۱ مشابه نتایج مرجع [۴] است. در شکل ۴ با استفاده از روابط اخیر، نمودارهای میانگین مربعات فاصله خطای ناشی از چهار نویز مذکور بر حسب $v_c T_{\text{eff}}$ به ازای $N'_{\text{eff}} = 3$ ترسیم شده است. در این شکل، اعمال ضریب k برای اصلاح مقیاس جهت ترسیم چهار نمودار در یک شکل می‌باشد.

$$\begin{aligned} k_{\text{GL}} &= 1, & k_{\text{RN}} &= 10^{-12} R_A^2 \\ k_{\text{FN}} &= 10^{-5}, & k_{\text{RNA}} &= 10^{-20} R_A^4 \end{aligned} \quad (15)$$

همانطور که از نمایش روابط (۱۱-۱۴) در شکل ۴ مشخص است، میانگین مربعات خطای ناشی از نویزها با توانهای مختلفی از $v_c T_{\text{eff}}$ مرتبط است. بنابراین، میانگین مربعات فاصله خطای ناشی از نویزهای مذکور بصورت زیر نوشته می‌شود:

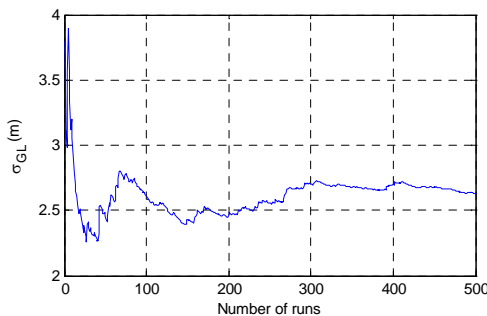
$$\begin{aligned} \frac{T_{\text{eff}}(1+R)^2 \sigma^2}{\Phi_{\text{GL}}} &= K_{\text{GL}}^2(N'_{\text{eff}}) + \alpha_{\text{FN}}(v_c T_{\text{eff}})^2 K_{\text{FN}}^2(N'_{\text{eff}}) \\ &\quad + \alpha_{\text{RN}} \frac{K_{\text{RN}}^2(N'_{\text{eff}})}{R_A^2} (v_c T_{\text{eff}})^4 \\ \text{or } &+ \alpha_{\text{RNA}} \frac{K_{\text{RNA}}^2(N'_{\text{eff}})}{R_A^4} (v_c T_{\text{eff}})^6 \end{aligned} \quad (16)$$

که در آن σ انحراف معیار (ریشه میانگین مربعات) فاصله خطای ناشی از نویزهای جستجوگر است. همچنین ضرایب α از روابط زیر محاسبه می‌شود:

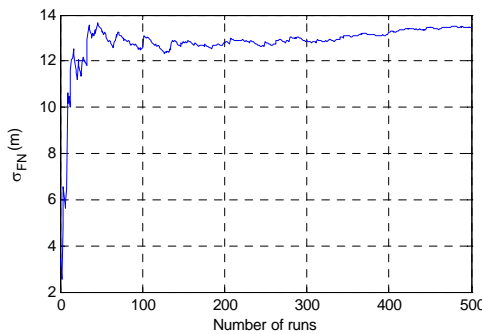
$$\Phi_i = \alpha_i \Phi_{\text{GL}} \quad i = \text{FN, RN, or RNA} \quad (17)$$

شده است. همچنین نتایج مشابهی برای نویز وابسته به فاصله (برای سیستم فعل یا نیمه فعل) بدست می‌آید.

لازم به ذکر است که در اکثر مراجعی که اثر رادوم را بررسی کرده‌اند از رابطه $r_{\text{dome}} = R\theta_H$ استفاده شده است (θ_H زاویه محور جستجوگر با محور طولی موشک است). تقریباً تمام تحلیل‌های کتاب [۴] و کارهای قبلی نویسنده آن از همین رابطه استفاده کرده‌اند؛ اما در پیوست کتاب مذکور ذکر شده است که فرم صحیح بصورت $r_{\text{dome}} = R(\lambda - \theta)$ است و تنها ذکر شده که نتایج تفاوت زیادی نمی‌کند. البته تابع تبدیل (۱۰) نشان می‌دهد که ضریب ناوبری با ضریب ظاهر می‌شود و در مخرج روابط (۱۱-۱۴) نیز ضریب (۱+R) ظاهر می‌شود.



شکل ۷: میانگین مجدور فاصله خطای ناشی از نویز تابش.

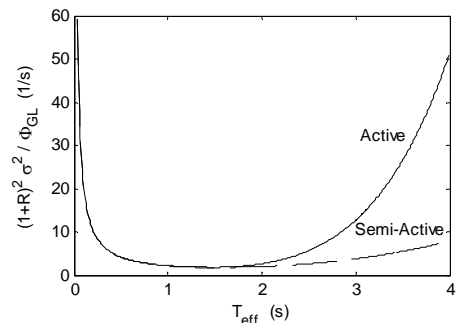


شکل ۸: میانگین مجدور فاصله خطای ناشی از نویز مستقل از فاصله.

در صورتی که در طراحی سیستم هدایت و بودجه‌بندی خطأ، مقدار حداقل σ مشخص شده باشد، پارامترهای طراحی بگونه‌ای انتخاب می‌شود که نامساوی زیر برقرار باشد:

$$T_{\text{eff}}^{-1} \left[K_{\text{GL}}^2 (N'_{\text{eff}}) \Phi_{\text{GL}} + (v_c T_{\text{eff}})^2 K_{\text{FN}}^2 (N'_{\text{eff}}) \Phi_{\text{FN}} + \frac{K_{\text{RNA}}^2 (N'_{\text{eff}})}{R_A^4} (v_c T_{\text{eff}})^6 \Phi_{\text{RNA}} \right] \leq (1+R)^2 \max(\sigma^2) \quad (۲۰)$$

نامساوی فوق با استفاده از رابطه (۱۶) نوشته شده است. همانگونه که مشاهده می‌شود، استفاده از روابط (۱۱-۱۴) و (۱۶) برای انتخاب و



شکل ۹: میانگین مجدور فاصله خطای ناشی از نویز جستجوگر بر حسب

$$(N'_{\text{eff}} = 3) v_c = 1500 \text{ m/s} \quad T_{\text{eff}}$$

در صورتی که نمودار میانگین مربعات فاصله خطأ بر حسب T_{eff} نمایش داده شود (شکل ۹)، مشاهده می‌شود که مقدار میانگین مربعات فاصله خطأ به ازای مقدار مشخصی از T_{eff} کمینه می‌شود. با استفاده از رابطه (۱۶) و محاسبه $\partial \sigma / \partial T_{\text{eff}} = 0$ می‌توان بطور تحلیلی مقدار بهینه T_{eff} برای کمینه‌سازی σ را برای سیستم نیمه‌فعل محاسبه نمود:

$$(v_c T_{\text{eff}}^*)^2 = \frac{-c_{\text{FN}}^2 + \sqrt{c_{\text{FN}}^2 + 12c_{\text{GL}} c_{\text{RN}}}}{6c_{\text{RN}}} \quad (۱۸)$$

که در آن

$$\begin{aligned} c_{\text{GL}} &= K_{\text{GL}}^2 (N'_{\text{eff}}) \Phi_{\text{GL}} \\ c_{\text{FN}} &= K_{\text{FN}}^2 (N'_{\text{eff}}) \Phi_{\text{FN}} \\ c_{\text{RN}} &= K_{\text{RN}}^2 (N'_{\text{eff}}) \Phi_{\text{RN}} / R_A^2 \end{aligned} \quad (۱۹)$$

با جایگذاری برای T_{eff}^* از رابطه (۱۸) در رابطه (۱۶) مقدار حداقل بدست می‌آید. البته در تحلیل فاصله خطأ در اصابت، می‌توان مانور تصادفی نیز برای هدف در نظر گرفت و مقدار بهینه T_{eff} را بدست آورد. تحلیل مشابهی در این زمینه در مرجع [۱۸] موجود است و روابط تقریبی استخراج شده است. البته در مرجع مذکور، اثر رادوم و ضرایب N'_L و τ لحاظ نشده است.

در ادامه، نمودارهای میانگین مجدور فاصله خطأ ناشی از نویز تابش و نویز مستقل از فاصله با استفاده از شبیه‌سازی عددی و اجراءهای متعدد آمده است که با نتایج حل تحلیلی ($\sigma_{\text{GL}} = 2.66, \sigma_{\text{FN}} = 13.25 \text{ m}$) مطابقت دارد (شکل‌های ۷ و ۸). در این نمودارها میانگین مربعات فاصله خطأ بر حسب تعداد اجرای کد شبیه‌سازی ترسیم شده است. شبیه‌سازی عددی به ازای مقادیر زیر انجام شده است:

$$\begin{aligned} N' &= 5, K_B = -0.03, N_L = 0.2, \tau = -0.5 \\ T &= 0.5, v_c = 500, v_M = 1000, T_\alpha = 5, R = -0.02 \end{aligned}$$

ورودی نویز تابش و نویز مستقل از فاصله نیز بصورت نویز گوسی سفید (با میانگین صفر) به ترتیب با چگالی طیفی توان ۱ و 100×10^{-5} منظور

پیش تعیین باشد. برای این منظور، مقدار ثابت زمانی مؤثر به ازای زمانی

$$C_R = C_{R_{\max}} \quad \text{باشد برابر} \quad T_{eff1} = -C_{R_{\max}}$$

که باشد برابر T_{eff2} مقدار ناظور می‌شود:

$$C_R = -C_{R_{\max}} \Rightarrow T_{eff} = T_{eff1} \quad (۳۱)$$

$$C_R = C_{R_{\max}} \Rightarrow T_{eff} = T_{eff2} \quad (۳۲)$$

البته توجه شود که زمان مذکور برای طراح نامعلوم فرض شده است؛ اما

فرض می‌شود تخمین خوبی از مقدار $C_{R_{\max}}$ در دسترس است. با اعمال

شرطیت اخیر در رابطه (۷) می‌توان نوشت:

$$T_{eff1} = \frac{T + N'_L \tau - N' T_\alpha C_{R_{\max}}}{1 + N'_L - N' C_{R_{\max}}} \quad (۳۳)$$

$$T_{eff2} = \frac{T + N'_L \tau + N' T_\alpha C_{R_{\max}}}{1 + N'_L + N' C_{R_{\max}}} \quad (۳۴)$$

$$\frac{T_{eff2} - T_{eff1}}{2N' C_{R_{\max}}} = \frac{(1 + N'_L) T_\alpha - T - N'_L \tau}{(1 + N'_L)^2 - (N' C_{R_{\max}})^2} \quad (۳۵)$$

با استفاده از رابطه (۶) نیز ضرب ناویری بصورت

$$N' = \frac{N'_{eff0} (1 + N'_L)}{1 + \hat{R}} \quad (۳۶)$$

انتخاب می‌شود که در آن \hat{R} تخمین شب رادوم است و N'_{eff0} مقدار

ضرب ناویری مؤثر با فرض شب رادوم صفر است. در نتیجه، ضرب

ناویری مؤثر از رابطه زیر محاسبه می‌شود:

$$N'_{eff} = \frac{N'_{eff0}}{\frac{1 + \hat{R}}{1 + R} + \frac{C_R}{1 + R} N'_{eff0}} \quad (۳۷)$$

و یا

$$N'_{eff} \approx \frac{N'_{eff0}}{1 + C_R N'_{eff0}} \quad (۳۸)$$

با جایگذاری برای N' از رابطه (۳۶) در رابطه (۷) می‌توان نوشت:

$$T_{eff} = \frac{(1 + \hat{R})(T + N'_L \tau) + N'_{eff0} C_R (1 + N'_L) T_\alpha}{(1 + \hat{R} + C_R N'_{eff0})(1 + N'_L)} \quad (۳۹)$$

بنابراین

$$T_{eff1} = \frac{(1 + \hat{R})(T + N'_L \tau) - N'_{eff0} C_{R_{\max}} (1 + N'_L) T_\alpha}{(1 + \hat{R} - C_{R_{\max}} N'_{eff0})(1 + N'_L)} \quad (۴۰)$$

$$T_{eff2} = \frac{(1 + \hat{R})(T + N'_L \tau) + N'_{eff0} C_{R_{\max}} (1 + N'_L) T_\alpha}{(1 + \hat{R} + C_{R_{\max}} N'_{eff0})(1 + N'_L)} \quad (۴۱)$$

نکته‌ای که باید به آن توجه شود این است که یکی از شروط لازم برای پایداری $c > 0$ است؛ عبارت دیگر:

$$c = 1 + N'_L + N' C_R > 0 \quad (۴۲)$$

با جایگذاری برای N' از رابطه (۳۶) در نامساوی اخیر می‌توان نوشت:

طراحی پارامترهای سیستم هدایت مفید است؛ اما رفتار فاصله خطای نسبت

به پارامترهای قانون هدایت در آن مشهود نیست. برای این منظور، ابتدا

پارامترهای زیر تعریف می‌شود:

$$N_1 = N'(1 + R) \quad (۲۱)$$

$$c = 1 + N'_L + K_{eq} \quad (۲۲)$$

$$X = 1 + N'_L \frac{\tau}{T} + \frac{T_\alpha}{T} K_{eq} \quad (۲۳)$$

بنابراین، ضرب ناویری مؤثر و ثابت زمانی مؤثر بر حسب پارامترهای

جدید بصورت زیر نوشتند می‌شود:

$$N'_{eff} = N_1 / c \quad (۲۴)$$

$$T_{eff} = TX / c \quad (۲۵)$$

با جایگذاری دو رابطه اخیر در روابط (۱۱-۱۴) می‌توان نوشت:

$$\frac{(1+R)^2 T \sigma_{GL}^2}{\Phi_{GL}} = K_{GL}^2 (N_1/c) \frac{c}{X} \quad (۲۶)$$

$$\frac{(1+R)^2 T \sigma_{FN}^2}{\Phi_{FN}} = K_{FN}^2 (N_1/c) \left(\frac{X}{c} \right) (Tv_c)^2 \quad (۲۷)$$

$$\frac{(1+R)^2 T \sigma_{RN}^2}{\Phi_{RN}} = \frac{K_{RN}^2 (N_1/c)}{R_A^2} \left(\frac{X}{c} \right)^3 (Tv_c)^4 \quad (۲۸)$$

$$\frac{(1+R)^2 T \sigma_{RNA}^2}{\Phi_{RNA}} = \frac{K_{RNA}^2 (N_1/c)}{R_A^4} \left(\frac{X}{c} \right)^5 (Tv_c)^6 \quad (۲۹)$$

در ادامه، رابطه میانگین مربعات فاصله خطای ناشی از نویزهای مذکور

آورده شده است:

$$\begin{aligned} \frac{(1+R)^2 T \sigma^2}{\Phi_{GL}} &= K_{GL}^2 (N_1/c) \frac{c}{X} \\ &+ \alpha_{FN} K_{FN}^2 (N_1/c) \left(\frac{X}{c} \right) (Tv_c)^2 \\ &+ \alpha_{RN} \frac{K_{RN}^2 (N_1/c)}{R_A^2} \left(\frac{X}{c} \right)^3 (Tv_c)^4 \\ \text{or } &+ \alpha_{RNA} \frac{K_{RNA}^2 (N_1/c)}{R_A^4} \left(\frac{X}{c} \right)^5 (Tv_c)^6 \end{aligned} \quad (۴۰)$$

با استفاده از رابطه فوق، رسم کانتورهای فاصله خطای ثابت در نمودار X بر حسب c مفید خواهد بود.

۴- طراحی ضرایب ناویری هدایت تناسبی

در اینجا هدف این است که ضرایب ناویری هدایت تناسبی بگونه‌ای

تعیین شود تا تغییرات ثابت زمانی مؤثر (یا معادل) T_{eff} بین دو مقدار از

پیش تعیین باشد. همچنین ضرب ناویری مؤثر نیز تقریباً برابر مقدار از

که به ازای $T_\alpha > 1$ ناپایدار است.
در صورتی که با جبران شبیب رادوم، خطای تخمین آن سبب

$$:(N' = 5 \text{ و } T = 0.5) C_{R\max} = 0.01$$

$$T_{eff1} = (10 - T_\alpha) / 19 \quad (54)$$

$$T_{eff2} = (10 + T_\alpha) / 21 \quad (55)$$

که واضح است به ازای $T_\alpha > 10$ ناپایدار است. همچنین به ازای

می‌توان نوشت: $T_\alpha = 5$

$$T_{eff1} = 0.2632, T_{eff2} = 0.7143 \quad (56)$$

در این زمینه، تحلیل جالی برای مقایسه حداقل ثابت زمانی مورد نیاز هدایت تناسبی برای موشک با بال و بدون بال در مرجع [۱۹] موجود است.

(ب) هدایت تناسبی با بازخورد سرعت زاویه بدن و شتاب

در این حالت، هدایت تناسبی با بازخورد سرعت زاویه بدن و شتاب (به ازای $\tau = 0$) را در نظر بگیرید. بنابراین:

$$T_{eff1} = \frac{T - N'T_\alpha C_{R\max}}{1 + N'_L - N'C_{R\max}} \quad (57)$$

اگر انتخاب شود، حداقل ثابت زمانی (مشابه حالت الف)

برابر $T_{min} = N'T_\alpha C_{R\max}$ می‌شود. بنابراین:

$$T_{eff2} = \frac{2N'T_\alpha C_{R\max}}{1 + N'_L + N'C_{R\max}} \quad (58)$$

در صورتی برای N' در رابطه فوق از رابطه (۳۶) جایگزین شود:

$$T_{eff2} = \frac{2N'_{eff0} C_{R\max}}{1 + \hat{R} + N'_{eff0} C_{R\max}} T_\alpha \quad (59)$$

رابطه اخیر تقریباً مشابه رابطه (۵۰) می‌شود. بطور مثال، به ازای

$C_{R\max} = 0.1$ و $N'_{eff0} = 5$ می‌توان نوشت:

$$T_{eff2} = T_\alpha / (1.5 + \hat{R}) \quad (60)$$

در این حالت ($\tau = 0$)، روابط T_{eff2} و T_{eff1} بصورت زیر نوشتند:

می‌شود:

$$T_{eff1} = \frac{(1 + \hat{R})T - N'_{eff0} C_{R\max} (1 + N'_L) T_\alpha}{(1 + \hat{R} - N'_{eff0} C_{R\max})(1 + N'_L)} \quad (61)$$

$$T_{eff2} = \frac{(1 + \hat{R})T + N'_{eff0} C_{R\max} (1 + N'_L) T_\alpha}{(1 + \hat{R} + N'_{eff0} C_{R\max})(1 + N'_L)} \quad (62)$$

در این حالت، با تنظیم N'_L می‌توان مقدار دلخواه T_{eff1} را نتیجه داد. در ادامه با مثالی این موضوع نشان داده می‌شود.

$$(1 + N'_L) \left(1 + \frac{N'_{eff0}}{1 + \hat{R}} C_R \right) > 0 \quad (43)$$

با توجه به این که $1 + N'_L > 0$ است، شرط لازم مذکور بصورت زیر بدست می‌آید:

$$\frac{N'_{eff0}}{1 + \hat{R}} C_{R\max} < 1 \quad (44)$$

الف) هدایت تناسبی با بازخورد سرعت زاویه بدن

در ابتدا هدایت تناسبی با بازخورد سرعت زاویه بدن را در نظر بگیرید. بنابراین:

$$N'_{eff} = \frac{N'(1 + R)}{1 + N'C_R} \quad (45)$$

$$T_{eff} = \frac{T + N'C_R T_\alpha}{1 + N'C_R} \quad (46)$$

حداقل مقدار T_{eff1} با توجه به پایداری سیستم و خطای ناشی از نویز تابش تعیین می‌شود.

$$T_{eff1} = \frac{T - N'T_\alpha C_{R\max}}{1 - N'C_{R\max}} \quad (47)$$

با انتخاب T_{eff2} ، مقدار T_{eff1} از رابطه زیر محاسبه می‌شود:

$$T_{eff2} - T_{eff1} = \frac{2N'(T_\alpha - T)C_{R\max}}{1 - (N'C_{R\max})^2} \quad (48)$$

فرض کنید که $T_{eff1} = 0$ انتخاب شده و لذا حداقل ثابت زمانی باید برابر شود با:

$$T_{min} = N'T_\alpha C_{R\max} \quad (49)$$

با جایگذاری مقادیر مفروض در رابطه (۳۴) می‌توان نوشت:

$$T_{eff2} = \frac{2N'T_\alpha C_{R\max}}{1 + N'C_{R\max}} \quad (50)$$

در این حالت و در صورت عدم تخمین شبیب رادوم، مقدار T_{eff2} برای ارتفاع بالا مقدار زیادی می‌شود که سبب افزایش فاصله خطای مطلوبی.

بطور مثال، به ازای $C_{R\max} = 0.1$ و $N' = 5$ می‌توان نوشت:

$$T_{eff2} = T_\alpha / 1.5 \quad (51)$$

در صورتی که با جبران شبیب رادوم، خطای تخمین آن سبب

شود:

$$T_{eff2} = T_\alpha / 10.5 \quad (52)$$

که برای مقادیر بزرگ T_α (بطور مثال ۷۰ ثانیه) فاصله خطای مطلوبی بدست نمی‌دهد. حال فرض کنید $N' = 5$ ، $T = 0.5$ و

برای این حالت $C_{R\max} = 0.1$.

$$T_{eff1} = 1 - T_\alpha, T_{eff2} = (1 + T_\alpha) / 3 \quad (53)$$

در عمل هم همینطور است)، تنظیم این پارامتر (N'_L یا N') می‌تواند سبب بهبود طراحی شود. توجه این که در روابط اخیر، ضریب N'_{eff0} ضریب ناوبری مؤثر از پیش تعیین است.

با توجه به این که به ازای مقادیر کوچک T_{eff} فاصله خطای ناشی از نویز تابش غالباً شده است، اعمال ضریب تصحیحی با استفاده از شیوه-سازی عددی توصیه می‌شود. برای این منظور، تقریب بهتر برای جگالی طیفی توان بجای نویز سفید، استفاده از خروجی تابع تبدیل مرتبه اول با ثابت زمانی w_g است (w_g فرکانس نصف توان نویز تابش است) که با نویز سفید تغذیه می‌شود [۲۰].

۵- نتیجه‌گیری

در این تحقیق، حل تحلیلی فاصله خطای استراتژی بهبودیافته ناوبری تنسی با بازخورد سرعت زاویه بدنه، شتاب جانبی و نرخ آن در حضور اثر رادوم و نویز جستجوگر با استفاده از روش الحاقی استخراج شده است. دینامیک سیستم کنترل با یک تابع تبدیل مرتبه اول مدل شده است. بعارت دیگر، تابع تبدیل از دستور شتاب به شتاب جانبی یک تابع تبدیل مرتبه اول فرض شده است. در نتیجه با فرضیات مذکور، تابع تبدیل معادل سیستم از نرخ چرخش خط دید به شتاب جانبی بصورت یک تابع تبدیل مرتبه اول بست می‌آید. بهره این تابع تبدیل همان ضریب ناوبری معادل و ثابت زمانی آن، ثابت زمانی معادل می‌شود که بر حسب شب رادوم و ضرایب قانون هدایت حاصل می‌شود. با توجه به این که تابع تبدیل معادل مذکور بصورت مرتبه اول منتج شده است، لذا با جایگذاری روابط حاصل برای ضریب ناوبری و ثابت زمانی معادل می‌توان از حل تحلیلی موجود در منابع بهره جست. لازم به ذکر است که در حل تحلیلی موجود در منابع، اثر رادوم و بازخورد شتاب جانبی لحاظ نشده است؛ اما در اینجا معادلات بگونه‌ای بdst آمد تا بتوان با حل تحلیلی موجود در منابع، معادل سازی کرد. با این کار، اثرا رادوم، بازخورد شتاب جانبی و مشتق آن در ثابت زمانی و ضریب ناوبری معادل و در نتیجه فاصله خطای ظاهر می‌شود. معادلات بdst آمده برای فاصله خطای موشک در اصابت ناشی از چهار نویز جستجوگر با شیوه‌سازی عددی آماری صحه‌گذاری شده است. با انتخاب محدوده ضریب ناوبری و ثابت زمانی معادل از روی فاصله خطای منتج از نویز جستجوگر و ماتور هدف می‌توان ضرایب قانون هدایت را بصورت متغیر طراحی کرد. اگرچه معادلات بی بعد میانگین مجدول فاصله خطای برای سیستم کنترل مرتبه اول برقرار است، اما به نظر مرسد روابط منتج برای ضرایب قانون هدایت برای سیستم واقعی قابل استفاده است. البته روابط حاصل برای ضرایب قانون هدایت باید برای سیستم با مرتبه بالاتر و همچنین مدل واقعی تنظیم و اصلاح شود. برای این منظور، با بازخورد شتاب جانبی و نرخ آن در قانون هدایت، یک پارامتر اضافی بوجود می‌آید که می‌تواند برای تنظیم قانون هدایت برای سیستم واقعی استفاده شود.

$$T_{eff1} = 0 \Leftrightarrow N'_L = -1 + \frac{(1 + \hat{R})T}{N'_{eff0} C_{R\max} T_\alpha} \quad (63)$$

با اعمال شرط اخیر:

$$T_{eff2} = \frac{2N'_{eff0} C_{R\max} T_\alpha}{1 + \hat{R} + N'_{eff0} C_{R\max}} \quad (64)$$

البته در این حالت (برخلاف مورد الف) نیازی به کاهش یا افزایش ثابت زمانی T نیست. حال فرض کنید $T = 0.5$ و $N'_{eff0} = 5$. با تقریب $1 + \hat{R} \approx 1$ می‌توان نوشت:

$$T_{eff1} = \frac{1}{1 + N'_L} - T_\alpha \quad (65)$$

$$T_{eff2} = \frac{T_{eff1} + 2T_\alpha}{3} \quad (66)$$

بنابراین با مقایسه با روابط (۵۱) و (۵۳) می‌توان گفت که استفاده از ضریب N'_L سبب بهبود طراحی می‌شود.

ج) هدایت تنسی با بازخورد سرعت زاویه بدنه، شتاب و نرخ

در این حالت، هدایت تنسی با بازخورد سرعت زاویه بدنه، شتاب و نرخ آن (به ازای $\tau \neq 0$) بررسی می‌شود. فرض کنید T_{eff1} با توجه به پایداری سیستم و خطای ناشی از نویز تابش $T_{eff1} > 0$ انتخاب شده است. بنابراین با استفاده از رابطه (۳۳) می‌توان نوشت:

$$N'_L \tau = N'(T_\alpha - T_{eff1})C_{R\max} + (1 + N'_L)T_{eff1} - T \quad (67)$$

در اینصورت، ثابت زمانی مؤثر از رابطه زیر محاسبه می‌شود:

$$T_{eff} = \frac{(1 + N'_L)T_{eff1} + N'(T_\alpha - T_{eff1})C_{R\max} + N' C_R T_\alpha}{1 + N'_L + N' C_R} \quad (68)$$

با جایگذاری برای N' از رابطه (۳۶) در رابطه فوق می‌توان نوشت:

$$T_{eff} = \frac{(1 + \hat{R})T_{eff1} + N'_{eff0} C_{R\max} (T_\alpha - T_{eff1}) + N'_{eff0} C_R T_\alpha}{1 + \hat{R} + C_R N'_{eff0}} \quad (69)$$

البته مقدار دقیق C_R برای طراح مشخص نیست. حال به ازای زمانی که $T_{eff2} = C_{R\max}$ باشد، ثابت زمانی مؤثر برای T_{eff1} منظور می‌شود:

$$T_{eff2} = \frac{(1 + \hat{R})T_{eff1} + N'_{eff0} C_{R\max} (2T_\alpha - T_{eff1})}{1 + \hat{R} + C_{R\max} N'_{eff0}} \quad (70)$$

به ازای $T_{eff1} = 0$ رابطه اخیر مشابه رابطه (۵۹) در حالت ب می‌شود؛ اما ضریب N'_L هنوز تعیین نشده است. البته باید توجه داشت که ضریب N'_L در محاسبه N'_{eff} مطابق رابطه (۳۷) تأثیری ندارد؛ اما ضریب N'_L تابعی از N'_L می‌شود. در صورتی که سیستم مرتبه اول فرض نشود (که

- [11] F. W. Neslin, and P. Zarchan, "Radome Induced Miss Distance in Aerodynamically Controlled Homing Missiles," AIAA Guidance and Control Conference, AIAA-84-1845, USA, 1984.
- [12] F. W. Neslin, and P. Zarchan, "Missile Guidance Design Tradeoffs for High Altitude Air Defense," Journal of Guidance, Control, and Dynamics, Vol. 6. No. 3, 1983, pp. 207-212.
- [13] F. W. Neslin, "Missile Guidance for Low-Altitude Air Defense," Journal of Guidance and Control, Vol. 2. No. 4, 1979, pp. 283-289.
- [14] C. L. Lin, "Stability Analysis of Radome Error and Calibration Using Neural Network," IEEE Transactions on AES, Vol. 37, No. 4, 2001, pp.1442-1450.
- [15] P. Gurfil, and J. Kasdin, "Improving Missile Guidance Performance by In-Flight Two-Step Nonlinear Estimation of Radome Aberration," IEEE Trans. on Control System Technology, Vol. 12, No. 4, 2004, pp.532-541.
- [16] P. Zarchan, and H. Gratt, "Adaptive Radome Compensation Using Dither," Journal of Guidance, Control, and Dynamics, Vol. 22, No. 1, 1999, pp. 51-57.
- [17] X. Cao, C. Dong, Q. Wang, and Y. Chen, "Radome Slope Estimation in Flight Using Fuzzy Adaptive Multiple Model for Active Homing Missile," The 9th International Conference on Electronic Measurement & Instruments, 2009.
- [18] J. Alpert, "Miss Distance Analysis for Command Guided Missiles," Journal of Guidance, Control, and Dynamics, Vol. 11. No. 6, 1988, pp. 481487.
- [19] F. W. Neslin, and P. Zarchan, "Wing Size vs Radome Compensation in Aerodynamically Controlled Radar Homing Missiles," Journal of Guidance, Control, and Dynamics, Vol. 9. No. 6, 1986, pp. 645-649.
- [20] N. A. Shneydor, *Missile Guidance and Pursuit: Kinematics, Dynamics, and Control*, Horwood Series in Engineering Science, 1998.

مراجع

- [1] P. Zarchan, *Tactical and Strategic Missile Guidance*, 3rd ed., Progress in Astronautics and Aeronautics, 176, AIAA, 1997.
- [2] A. Spencer, and W. Moore, "Design Trade-offs for Homing Missiles," AIAA SDIO Annual Interceptor Technology Conference, AIAA-92-2755, USA, 1992.
- [3] F. W. Neslin, and P. Zarchan, "A New Look at Classical versus Modern Homing Missile Guidance," Journal of Guidance and Control, Vol. 4, No. 6, 1981, pp. 78-85.
- [4] P. Zarchan, *Tactical and Strategic Missile Guidance*, 3rd ed., Progress in Astronautics and Aeronautics, 176, AIAA, 1997.
- [5] A. Spencer, and W. Moore, "Design Trade-offs for Homing Missiles," AIAA SDIO Annual Interceptor Technology Conference, AIAA-92-2755, USA, 1992.
- [6] H. B. Hablani, and D. W. Pearson, "Miss Distance Error Analysis of Exoatmospheric Interceptors," Journal of Guidance, Control, and Dynamics, Vol. 27. No. 2, 2004, pp. 283-289.
- [7] S. Miwa, "Radome Effect on the Miss Distance of a Radar Homing Missile," Electronics and Communications in Japan, Part 1, Vol. 81, No. 7, 1998.
- [8] E. J. Ohlmeyer, "Root-Mean-Square Miss Distance of Proportional Navigation Missile Against Sinusoidal Target," Journal of Guidance, Control, and Dynamics, Vol. 19. No. 3, 1996, pp. 563-568.
- [9] F. W. Neslin, and P. Zarchan, "Miss Distance Dynamics in Homing Missiles," AIAA Guidance and Control Conference Proceedings, Aug. 1984, pp. 84-98.
- [10] R. Yanushevsky, *Modern Missile Guidance*, CRC Press, 2008.

